

ارزیابی تحلیلی تأثیر شعاع شانه‌ی قالب و سببه بر نیروی کشش عمیق*

مصطفی منصوری نژاد^(۱)بهمن میرزاخانی^(۲)

چکیده در این تحقیق با استفاده از روابط هندسی موجود بین سببه و برخی از مشخصات فرایندی، چگونگی تشکیل و توسعه‌ی نواحی مختلف درون قطعه در فرایند کشش عمیق پیش‌بینی شد و رابطه‌ی بین زاویه‌ی خم، شعاع شانه‌ی قالب و سببه و میزان کرنش در دورابه (flange) و شانه‌ی قالب به‌ازای مقادیر دلخواه جابجایی سببه بدست آمد. افزون بر این، مؤلفه‌های مختلف نیروی تغییر شکل محاسبه شد و به‌کمک رابطه‌های بدست آمده، نمودار نیرو- جابجایی سببه در میزانهای مختلف شعاع شانه‌ی قالب و سببه ترسیم و تأثیر این مؤلفه‌ها بر نمودارهای حاصل بررسی شد. نتایج بدست آمده نشان دادند که تأثیر شعاع شانه‌ی قالب و سببه بر میزان جابجایی سببه در نقطه‌ی بیشینه‌ی نیرو یکسان است. تطابق بسیار خوبی بین نتایج این تحقیق و نتایج تجربی سایر محققان بدست آمد.

واژه‌های کلیدی کشش عمیق، شعاع شانه‌ی قالب، شعاع شانه‌ی سببه، نیروی سببه، جابجایی سببه.

Analytical Evaluation of the Effect of Die and Punch Profile Radii on Deep Drawing Force

M. Mansourinejad

B. Mirzakhani

Abstract

In this study, the formation of different parts of a cup during deep drawing process has been investigated analytically using the geometrical relationships. For a given punch travel, the effects of the bending angle, and those of the die and shoulder radii on the flange and die shoulder strains were examined. In addition, different components of the deformation force were calculated and the punch force - punch travel diagrams for different die and punch shoulder radii were studied. The results showed that the die and punch shoulder radii have similar effects on the punch travel at the maximum force. There was a very good agreement between the calculated results in this research and those obtained by other investigators.

Key Words Deep drawing, die shoulder radius, punch shoulder radius, punch force, punch travel.

* نسخه‌ی نخست مقاله در تاریخ ۹۰/۴/۶ و نسخه‌ی پایانی آن در تاریخ ۹۰/۸/۸ به دفتر نشریه رسیده است.

(۱) مری، گروه مهندسی مواد و متالورژی، دانشکده‌ی فنی و مهندسی، دانشگاه آزاد اسلامی واحد دزفول

(۲) نویسنده‌ی مسؤول: استادیار، گروه مهندسی مواد و متالورژی، دانشکده‌ی فنی و مهندسی، دانشگاه اراک

جابجایی سنبه مطالعه و تحلیل شده است. برای ارزیابی دقّت تحلیل به کار رفته، محاسبات مطابق با شرایط عملی در مرجع شماره‌ی ۶ انجام شد، و نتایج حاصل با نتایج آزمایش‌گاهی موجود در این مرجع مقایسه شدند.

نتوری

نحوه‌ی شکل‌گیری هندسه‌ی قطعه با پیش‌روی سنبه. در شروع فرایند، پس از تماس سنبه با ورق و با ادامه‌ی پیش‌روی آن، ورق بر روی شانه‌ی قالب و سنبه خم می‌شود، سطح تماس آن با این مناطق افزایش یافته و زاویه‌ی خم θ که در شانه‌ی قالب و سنبه یکسان است، بیش‌تر می‌شود. زاویه‌ی خم θ نشان‌دهنده‌ی مکان هندسی آخرین نقطه‌ی تماس ورق با شانه‌ی قالب و یا شانه‌ی سنبه است (شکل (۱)). با استفاده از روابط هندسی و اعمال اصلاحات لازم در معادلات ارائه شده در مرجع ۱ به‌منظور استفاده از آن به عنوان مدل تحلیلی در این مقاله، ارتباط زاویه‌ی خم با شعاع شانه‌های قالب و سنبه، لقی بین آن‌ها و جابجایی سنبه با رابطه‌ی زیر نمایش داده می‌شود:

$$(1) \quad \theta = A \sin \left[\frac{r_i(C+r_i)+(L-r_i)\sqrt{(C+r_i)^2+(L-r_i)^2-r_i^2}}{(C+r_i)^2+(L-r_i)^2} \right]$$

که در آن، $r_t = r_p + r_d$ و r_p به ترتیب شعاع شانه‌ی قالب و سنبه، C میزان لقی بین قالب و سنبه و L میزان جابجایی سنبه ($L=0$) در لحظه‌ی تماس سنبه با ورق در ابتدای فرایند) می‌باشد. زاویه‌ی خم θ بر حسب رادیان بیان می‌شود.

در شکل (۲) مشاهده می‌شود که روند افزایش θ با افزایش r_p آهسته‌تر می‌شود. به عبارت دیگر، با افزایش r_p زاویه‌ی خم θ در جابجایی بیش‌تری از سنبه به مقدار دلخواه می‌رسد. از آنجا که r_d و r_p در رابطه‌ی (۱) نقش یکسانی دارند، تأثیر این دو عامل بر چگونگی افزایش زاویه‌ی خم یکی است. بنابراین، نمودار مذکور برای $r_d = 6 \text{ mm}$ و $r_p = 4 - 12 \text{ mm}$

مقدمه

کشش عمیق یکی از مهم‌ترین فرایندهای شکل دهی ورق‌ها است. این فرایند کاربردهای زیادی در صنایع مختلف از جمله صنایع خودروسازی، هوا و فضا، لوازم خانگی و مانند آن دارد [۱]. آگاهی از میزان نیروی تغییر شکل و عوامل مؤثر بر آن از دیدگاه فنی و اقتصادی اهمیت بسیار زیادی دارد. نیروی لازم برای کشش عمیق با استفاده از برخی از روابط کلاسیک قابل محاسبه است، ولی این روابط دو اشکال اساسی دارند. اوّل آن‌که نیروی واقعی تغییر شکل با تقریب نسبتاً بالایی محاسبه می‌شود و ثانیاً، تأثیر عوامل مختلفی از جمله نسبت کشش، شعاع شانه‌ی قالب و سنبه، لقی بین سنبه و قالب و نظری آن (که بر نیروی کشش عمیق تأثیر زیادی دارند) نادیده گرفته می‌شوند [۱]. به‌نظر می‌رسد که افرون بر بدست آوردن نیروی نزدیک به واقعی تغییر شکل و اطلاع از تأثیر عوامل فرایند بر آن، چگونگی تغییر نیرو حین فرایند نیز مهم باشد، زیرا در بسیاری از موارد هدف تبدیل گردهی ورق به استوانه‌ی کامل نیست، بلکه تولید یک استوانه همراه با لبه مطلوب است. در این شرایط، با دسترسی به نمودار نیرو- جابجایی سنبه نیروی سنبه به‌ازای مقادیر مختلف ارتفاع قابل پیش‌بینی است.

به‌دست آوردن شرایط مناسب فرایند با انجام آزمایش‌های متعدد مستلزم صرف وقت و هزینه‌ی زیادی است. بنابراین، واضح است که پیش‌بینی نیروی تغییر شکل و روند تغییرات آن شرایط لازم برای تولید محصول سالم را فراهم خواهد کرد [۲,3]. بعضی از محققان در گذشته ارتباط بین نیرو و جابجایی سنبه را در یک شرایط خاص با استفاده از روش اجزای محدود به‌دست آورده‌اند، ولی تأثیرپذیری این ارتباط از متغیرهای فرایند کم‌تر مورد توجه قرار گرفته است [۴,5].

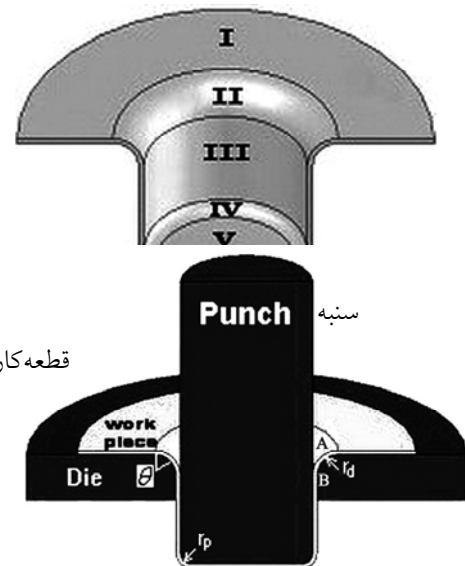
در این تحقیق، تأثیر اندازه‌ی شعاع شانه‌ی قالب و سنبه بر نیروی کشش عمیق و تغییرات آن با

بنابراین، جمع شدگی محیطی و کشیدگی شعاعی اجزای گردهی اولیه تا موقعی است که آن‌ها با شانه‌ی قالب در تماس باشند. به عبارت دیگر، پس از آخرین تماس ماده با شانه‌ی قالب (طی کردن زاویه‌ی θ)، اجزای ماده حرکت صلب خواهند داشت.

همان‌طور که در شکل (۱-الف) مشاهده می‌شود، با پیش‌روی سنبه گردهی ورق اولیه به شعاع R_0 به یک قوطی نیمه کشیده‌ای تبدیل می‌شود که از پنج قسمت تشکیل شده است. مساحت این پنج ناحیه با در نظر گرفتن اجزای کوچک در ماده و انTEGRال‌گیری، به کمک روابط هندسی محاسبه می‌شود [۱].

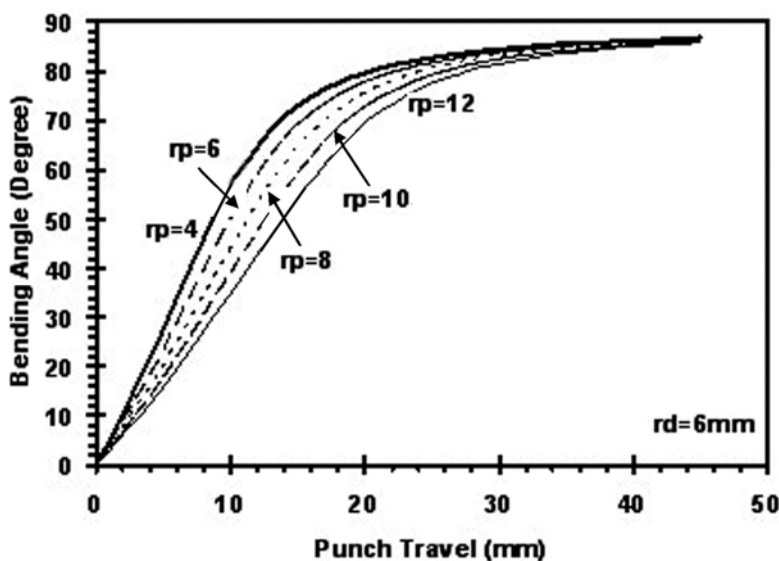
ناحیه‌ی I: این ناحیه حلقه‌ای شکل است و مساحت آن برابر با $\pi[R^2 - (R_1 + r_d)^2]$ می‌باشد. در این رابطه، R شعاع لحظه‌ای گرده (شعاع نقاط لبه‌ای دورلبه) و R_1 شعاع سنبه است.

نیز صادق است.



شکل ۱ (الف) تصویری از فرایند کشش عمیق، (ب): مناطق مختلف در قطعه‌ی کشیده شده

در این بحث، فرض بر این است که تغییر شکل ماده تنها در نواحی دورلبه و شانه‌ی قالب رخ می‌دهد.



شکل ۲ تأثیر شعاع شانه‌ی سنبه بر چگونگی افزایش زاویه‌ی خم

الف- تنش لازم برای کشش شعاعی ماده. بعد از پیش روی سنبه به میزان L , رابطه‌ی (۵) برای شعاع اولیه‌ی ρ_0 برقرار است. این رابطه با توجه به شکل (۱) و فرض ثابت بودن ضخامت به دست آمده است:

$$\pi\rho_0^2 = \pi(R_1 - r_p)^2 + S_p + S_w + S_d + S' \quad (5)$$

دو حالت زیر برای S' وجود دارد:
۱- اگر ρ_0 به شکلی باشد که پس از جابجایی سنبه به میزان L , اجزای کوچک با شعاع ρ_0 به شانه‌ی قالب نرسند. در این حالت، S' سطحی حلقوی شکل در ناحیه‌ی دورلبه است و مساحت آن برابر با $\pi[\rho_1^2 - (R_1 + C + r_d)^2]$ می‌باشد. ρ_1 شعاع جزء کوچکی است که شعاع ابتدایی آن ρ_0 بوده است.

۲- اگر ρ_0 به شکلی باشد که پس از جابجایی سنبه به میزان L , اجزای کوچک با شعاع ρ_0 وارد شانه‌ی قالب شوند. در این حالت، S' یک رویه‌ی دووار با قوس بیرونی خواهد بود و اگر چه مساحت آن با استفاده از رابطه‌ای مشابه با رابطه‌ی ۲ محاسبه می‌شود، اما می‌توان کمیت ρ را به گونه‌ای تعریف کرد که S' مانند حالت اول قابل محاسبه باشد. به این ترتیب، رابطه‌ی (۵) به رابطه‌ی زیر تبدیل خواهد شد:

$$\pi\rho_0^2 = \pi(R_1 - r_p)^2 + S_p + S_w + S_d + \pi[\rho_1^2 - (R_1 + C + r_d)^2] \\ \rho_1 = R_1 + C + r_d + x, \quad -r_d \sin \theta \leq x \leq R_0 - (R_1 + C + r_d) \quad (6)$$

بنابراین، به ازای جابجایی دلخواه L و با فرض ثابت بودن ضخامت گرده‌ی اولیه، کرنش شعاعی ایجاد شده در هر جزء اولیه به شعاع ρ_0 با جایگذاری رابطه‌ی (۶) در رابطه‌ی کرنش به دست می‌آید:

$$\varepsilon_n = \ln \frac{\rho_0}{\rho_1} = \ln \sqrt{\frac{(R_1 - r_p)^2 + (S_p + S_w + S_d)/\pi - (R_1 + C + r_d)^2}{\rho_1^2} + 1} \quad (7)$$

ناحیه‌ی II: رویه‌ای مدور با قوس بیرونی است که با شانه‌ی قالب در تماس بوده و مساحت آن (S_d) برابر است با:

$$S_d = 2\pi r_d [(R_1 + C)\theta + (\theta + \cos \theta - 1)r_d] \quad (2)$$

ناحیه‌ی III: این ناحیه سطح جانبی یک مخروط ناقص است که مساحت آن (S_w) با استفاده از رابطه‌ی زیر محاسبه می‌شود:

$$S_w = p\sqrt{1 + \tan^2 q} \{ [R_1 + C + R_d(1 - \sin q)]^2 - [R_1 - r_p(1 - \sin q)]^2 \} \quad (3)$$

ناحیه‌ی IV: رویه‌ای مدور با قوس داخلی است که با شانه‌ی پانچ در تماس بوده و مساحت آن (S_p) برابر است با:

$$S_p = 2\pi r_p [R_1\theta + (1 - \theta - \cos \theta)r_p] \quad (4)$$

ناحیه‌ی V: این ناحیه معادل سطح صاف کف سنبه است و مساحت آن برابر با $(R_1 - r_p)^2 \pi$ می‌باشد.
با ادامه‌ی پیش روی سنبه، نواحی II, III و IV به طور پیوسته توسعه می‌یابند و وسعت ناحیه‌ی I کاهش می‌یابد، در حالی که ناحیه‌ی V در طول فرایند ثابت باقی می‌ماند.

محاسبه‌ی نیروی سنبه

نیروی سنبه برابر است با حاصل ضرب مساحت سطح مقطع دیواره‌ی محصول در تنش اعمالی بر آن. تنش وارد بر دیواره‌ی محصول در حالت کشنش از چند بخش تشکیل شده است [۶]:

الف- تنش لازم برای کشش شعاعی ماده (Radial Tension)

ب- تنش لازم برای غلبه بر اصطکاک بین ماده و ورق‌گیر، و ماده و قالب

پ- تنش لازم برای خمش ورق

ت- تنش لازم برای غلبه بر اصطکاک بین قطعه و قالب در ناحیه‌ی شانه‌ی قالب

ث- تنش لازم برای بازخمش ورق

دلخواه واقع در ناحیه‌ی دورلبه، تنش کششی (σ_r) برای کشش شعاعی اجزای کوچک دورلبه تا آخرین نقطی تغییر شکل (آخرین نقطه‌ی تماس ماده با شانه‌ی قالب) و تشکیل دیواره‌ی محصول با استفاده از رابطه‌ی زیر محاسبه می‌شود [8]:

$$\sigma_r = 1.155 \bar{y}_r \ln \frac{R}{\rho_1} \quad (10)$$

اگر در رابطه‌ی (6) به جای ρ_0 و ρ_1 به ترتیب R_0 در قرار داده شود، و R به دست آمده از آن در رابطه‌ی (10) جای گزین شود، تنش کششی خالص به شکل زیر محاسبه می‌شود:

$$\sigma_n = 1.155 \bar{y}_r \ln \frac{\sqrt{R_0^2 - (R_1 - r_p)^2 - (S_p + S_w + S_d)/\pi} + (R_1 + C + r_d)(1 - \sin \theta)}{R_1 + C + r_d(1 - \sin \theta)} \quad (11)$$

ب- تنش لازم برای غلبه بر اصطکاک بین ورق‌گیر و قالب. با استفاده از رابطه‌های ذکر شده در مرجع ۶، تنش اصطکاکی (σ_{ff}) به شکل زیر قابل محاسبه خواهد بود:

$$\sigma_{ff} = \frac{\mu F_{bh}}{\pi(R_1 + C + r_d)t_0} \quad (12)$$

در این رابطه، μ ضریب اصطکاک، F_{bh} نیروی ورق‌گیر و t_0 ضخامت ورق است (فرض بر این است که ضخامت در طول فرایند ثابت باقی بماند).

پ- تنش لازم برای خمش ماده. در نقطه‌ی A (فصل مشترک دورلبه و شانه‌ی قالب)، اجزای کوچک ماده دچار خمش می‌شوند. با در نظر گرفتن یک جزء کوچک و نوشتمن تعادل نیروها و موازنی نرخ کار ورودی و خروجی به این جزء، تنش لازم برای خمش ماده به شکل زیر محاسبه می‌شود [6,9]:

$$\sigma_b = \frac{t_0 [\bar{y}_f^2 + (\sigma_{rf} + \sigma_{ff})^2]}{\sqrt{3} \bar{y}_f (2r_d + t_0)} \quad (13)$$

مشاهده می‌شود که در جایجایی سنبه به میزان L، بیشترین مقدار کرنش در جزء اولیه‌ای اتفاق می‌افتد که شعاع آن (r_0) به کمترین مقدار r_1 تبدیل شده باشد. بنابراین، برای دستیابی به بالاترین میزان کرنش، لازم است تا x در رابطه‌ی ۶ برابر با $r_d \sin \theta$ باشد. در این صورت، S' در رابطه‌ی (5) با S_d برابر شده و رابطه‌ی (7) که بیشترین میزان کرنش شعاعی ایجاد شده به ازای L دلخواه را به دست می‌دهد، به رابطه‌ی زیر تبدیل خواهد شد:

$$\varepsilon_n = \ln \sqrt{\frac{(R_1 - r_p)^2 + (S_p + S_w)/\pi}{R_1 + C + r_d(1 - \sin \theta)}} \quad (8)$$

از آنجا که حالت کرنش در ناحیه‌ی دورلبه صفحه‌ای است، کرنش مؤثر (ε_{ef}) برابر با $1.155 \varepsilon_r$ خواهد بود. رفتار کارسختی اغلب فلزات و آلیاژها از رابطه‌ی لودویک- هولومن ($\sigma = k\varepsilon^n$) پیروی می‌کند. در این تحقیق نیز فرض شده است که این رابطه برقرار است و بنابراین، تنش سیلان میانگین از رابطه‌ی زیر به دست می‌آید:

$$\bar{y}_r = \frac{k \varepsilon_{ef}^n}{1+n} \quad (9)$$

اگر فرض کنیم که ε_{ef} تنها در نتیجه‌ی کشش شعاعی ایجاد شده باشد، \bar{y}_r تنش سیلان میانگین اجزای کوچکی است که زاویه‌ی خم آنها برابر با θ است. در رابطه‌ی (9)، k ضریب استحکام و n توان کارسختی است. لازم به ذکر است که مطابق شکل (1)، زاویه‌ی خم صفر درجه هنگامی رخ می‌دهد که جایجایی سنبه صفر باشد.

علی‌رغم این‌که نویسنده‌گان مقاله از ناهمسان‌گردی مواد در مقیاس میکروسکوپی آگاه هستند، اما همسان‌گردی ماده در مدل ارائه شده در این تحقیق پیش فرض شده است. بنابراین، با فرض همسان‌گرد بودن ماده و برقراری حالت تعادل برای نیروها و اعمال شرایط مرزی برای یک جزء کوچک

آزمایشگاهی مرجع ۶، به صورت نمودارهای نیرو- جابجایی سنبه ارائه و مقایسه گردید.

شکل (۳) تغییرات نیروی سنبه و اجزای تشکیل دهنده‌ی آن را بر حسب جابجایی سنبه نشان می‌دهد. همان‌گونه که مشاهده می‌شود، نیروی کششی شعاعی همانند نیروی کل تغییر شکل پس از رسیدن به نقطه‌ی بیشینه دوباره به صفر می‌رسد، زیرا از طرفی با ادامه‌ی پیش روی سنبه ماده کرنش بیشتری را تجربه کرده و تنش سیلان آن در نتیجه‌ی کارسختی به‌طور پیوسته در حال افزایش خواهد بود، و از طرف دیگر، شعاع گرده (R) به‌شكل پیوسته کاهش می‌باشد. بنابراین با توجه به رابطه‌ی ۱۰، برهم‌کنش سیر صعودی تنش سیلان ماده و سیر نزولی شعاع گرده باعث می‌شود تا نیروی کششی شعاعی ابتدا افزایش و سپس کاهش یابد.

اگر چه نیروی لازم برای غلبه بر اصطکاک بین ماده و شانه‌ی قالب با برقراری حالت تعادل بین نیروهای اعمالی بر اجزای کوچک در شانه‌ی قالب، تنش اصطکاکی (σ_{fs}) محاسبه می‌شود:

$$\sigma_{fs} = (\sigma_n + \sigma_{ff} + \sigma_b)(e^{\mu\theta} - 1)$$

(۱۶)

ث- تنش لازم برای بازخمش (نمگشایی) ماده. همانند روش محاسبه‌ی σ_b ، تنش بازخمش (σ_{un}) که در نقطه‌ی B اعمال می‌شود نیز به‌شكل زیر قابل محاسبه است [۶,۹]:

$$\sigma_{un} = \frac{t_0[\bar{y}_t^2 + (\sigma_n + \sigma_{ff} + \sigma_{fs} + \sigma_b)^2]}{\sqrt{3}\bar{y}_t(2r_d + t_0)}$$

(۱۷)

بنابراین، نیروی کشش عمیق (F_{tot}) با استفاده از رابطه‌ی زیر به‌دست خواهد آمد:

$$F_{tot} = 2\pi R_1 t_0 (\sigma_n + \sigma_{ff} + \sigma_{fs} + \sigma_b + \sigma_{un})$$

(۱۸)

\bar{y}_f تنش تسلیم المانی است که در جابجایی L به نقطه A رسیده و σ_{rf} نیز تنش شعاعی لازم جهت کشش شعاعی المانهای فلنج تا نقطه A می‌باشد. کرنش مؤثری که در نقطه A ایجاد می‌شود، با استفاده از رابطه‌ی زیر به‌دست می‌آید:

$$\varepsilon_{rf} = 1.155 \ln \frac{\sqrt{(R_1 - r_p)^2 + (S_p + S_w + S_d)/\pi}}{R_1 + C + r_d} \quad (14)$$

\bar{y}_f را می‌توان با استفاده از رابطه‌ای مشابه با رابطه‌ی (۹) محاسبه کرد، و σ_{rf} نیز همانند آنچه در مورد σ_n شرح داده شد، به صورت زیر و مشابه با رابطه‌ی (۱۱) قابل محاسبه خواهد بود:

$$\sigma_{rf} = 1.155 \bar{y}_f \ln \frac{\sqrt{R_0^2 - (R_1 - r_p)^2 - (S_p + S_w + S_d)/\pi + (R_1 + C + r_d)^2}}{R_1 + C + r_d} \quad (15)$$

ت- تنش لازم برای غلبه بر اصطکاک بین ماده و شانه‌ی قالب. با برقراری حالت تعادل بین نیروهای اعمالی بر اجزای کوچک در شانه‌ی قالب، تنش اصطکاکی (σ_{fs}) محاسبه می‌شود:

$$\sigma_{fs} = (\sigma_n + \sigma_{ff} + \sigma_b)(e^{\mu\theta} - 1) \quad (16)$$

ث- تنش لازم برای بازخمش (نمگشایی) ماده. همانند روش محاسبه‌ی σ_b ، تنش بازخمش (σ_{un}) که در نقطه‌ی B اعمال می‌شود نیز به‌شكل زیر قابل محاسبه است [۶,۹]:

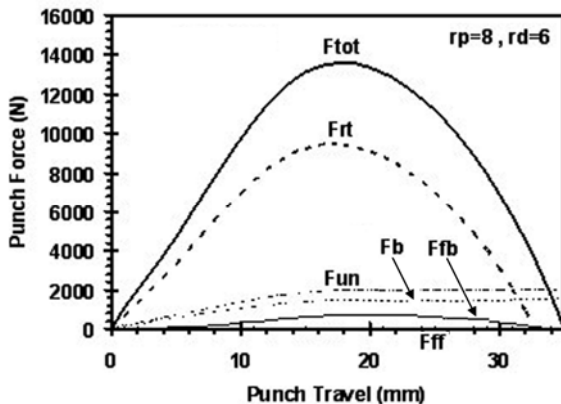
$$\sigma_{un} = \frac{t_0[\bar{y}_t^2 + (\sigma_n + \sigma_{ff} + \sigma_{fs} + \sigma_b)^2]}{\sqrt{3}\bar{y}_t(2r_d + t_0)} \quad (17)$$

بنابراین، نیروی کشش عمیق (F_{tot}) با استفاده از رابطه‌ی زیر به‌دست خواهد آمد:

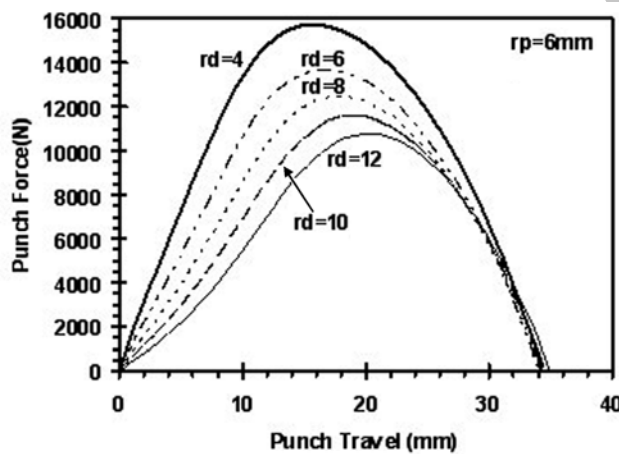
$$F_{tot} = 2\pi R_1 t_0 (\sigma_n + \sigma_{ff} + \sigma_{fs} + \sigma_b + \sigma_{un}) \quad (18)$$

نتایج و بحث

نتایج محاسباتی این تحقیق مطابق با شرایط



شکل ۳ تغییرات نیروی سببه و اجزای تشکیل دهنده آن بر حسب جابجایی سببه



شکل ۴ تأثیر شعاع شانه‌ی قالب بر نیروی کشش عمیق و چگونگی تغییرات آن با جابجایی سببه

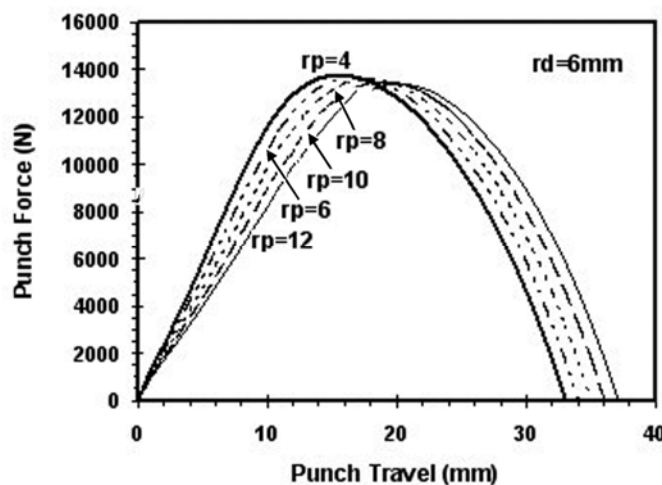
نقطه‌ی تماس ماده با شانه‌ی قالب (r_p) بهازای L معین برابر با $R_i + C + r_i(1 - \sin \theta)$ است، افزایش شعاع شانه‌ی قالب به دو شکل مستقیم (افزایش r_d) و غیر مستقیم (کاهش θ) باعث افزایش r_p و در نتیجه، کاهش نسبت کشش و F_n می‌شود. دلیل این‌که با افزایش r_d بیشترین میزان نیروی تغییر شکل در جابجایی بیشتری از سببه رخ می‌دهد آن است که مطابق با شکل (۱)، زاویه‌ی خم θ با افزایش r_d r_p کوچک‌تر می‌شود. بنابراین، با افزایش r_d به پیش‌روی بیشتری از سببه برای رسیدن به میزان مشخصی از θ که خود مستلزم افزایش نیروی سببه بهمیزان معنی است، نیاز خواهد بود.

در شکل (۴) تأثیر شعاع شانه‌ی قالب بر نیروی تغییر شکل و چگونگی تغییرات آن با جابجایی سببه نشان داده شده است. مشاهده می‌شود که با افزایش شعاع شانه‌ی قالب از ۴ به ۱۲ میلی‌متر، اولاً بیشترین نیروی تغییر شکل از ۱۴ به ۱۱/۴۷ کیلو نیوتون کاهش یافته است و ثانیاً، این افزایش در جابجایی بیشتری از سببه (از ۱۶ به ۲۰ میلی‌متر) رخ داده است. کاهش F_{tot} با افزایش r_d به دلیل کاهش میزان عوامل موجود در رابطه‌ی $F_{tot} = F_{un} + F_b$ ، یعنی F_{un} ، F_b و F_{fb} می‌باشد، زیرا با افزایش r_d از یک طرف شعاع خم و باز خم افزایش و F_b و F_{un} کاهش (مطابق با رابطه‌های ۱۳ و ۱۷) می‌یابند و از طرف دیگر، چون شعاع آخرین

بنابراین، افزایش r_p منجر به کاهش غیر مستقیم نسبت کشش می‌شود و بهاین ترتیب، F_{tot} نیز کمی کاهش می‌یابد. تأثیر اندک r_p بر F_{tot} در مقایسه با r_d کاملاً منطقی است، زیرا اولاً با توجه به رابطه‌ی (۱۱) و این‌که عامل مستقل r_d در مخرج ظاهر شده است، از دیدگاه ریاضی واضح است که تأثیر r_d بر F_{tot} بسیار بیشتر از تأثیر r_p است، و ثانیاً بر خلاف آن‌که r_p بر r_b و F_{un} تقریباً بی‌تأثیر است، r_d بر روی این دو عامل نیرو و تأثیر زیادی دارد.

در شکل (۵)، تأثیر شعاع شانه‌ی سنبه بر نیروی تغییر شکل و چگونگی تغییرات آن با جابجایی سنبه نشان داده شده است. همان‌طور که مشاهده می‌شود، بیشترین نیروی تغییر شکل با افزایش r_p کاهش اندکی می‌یابد، و این افزایش در جابجایی بیشتری از سنبه رخ می‌دهد. با توجه به رابطه‌ی (۱)، میزان و چگونگی تأثیر r_p بر جابجایی سنبه در نیروی بیشینه دقیقاً شبیه به تأثیر r_d است.

همان‌گونه که قبلاً گفته شد، افزایش r_p به‌ازای مقادیر دلخواه L باعث کاهش زاویه‌ی خم می‌شود.



شکل ۵ تأثیر شعاع شانه‌ی سنبه بر نیروی کشش عمیق و چگونگی تغییرات آن با جابجایی سنبه

جدول ۱ مقایسه‌ی نتایج محاسبه شده و تجربی پیرامون تأثیر شعاع شانه‌ی قالب بر بیشترین نیرو و جابجایی مربوط به آن

r_d (mm)	F_{max} تجربی (N)	F_{max} محاسبه شده (N)	جابجایی سنبه به‌ازای مقادیر F_{max} تجربی (mm)	جابجایی سنبه به‌ازای مقادیر محاسبه شده‌ی F_{max} (mm)	درصد خطای مریبوط به محاسبه شده (%)	درصد خطای مربوط به جابجایی محاسبه شده‌ی سنبه (%)
۴	۱۴۰۰۰	۱۵۷۰۰	۱۷	۱۶	+۱۲	-۵
۶	۱۳۴۰۰	۱۳۷۰۰	۱۷	۱۷	+۲	۰
۸	۱۲۸۰۰	۱۲۵۰۰	۱۹	۱۸	-۲	-۵
۱۰	۱۲۱۰۰	۱۱۶۰۰	۱۸	۱۹	-۴	+۵
۱۲	۱۱۴۰۰	۱۰۸۰۰	۱۹	۲۰	-۵	+۵

جدول ۲ مقایسه‌ی نتایج محاسبه شده و تجربی پیرامون تأثیر شعاع شانه‌ی سنبه بر بیشترین نیرو و جابجایی مربوط به آن

r_p (mm)	F_{max} (N) تجربی	F_{max} محاسبه شده (N)	جابجایی سنبه به ازای مقادیر (mm) F_{max} تجربی	جابجایی سنبه به ازای مقادیر محاسبه شده‌ی (mm) F_{max}	درصد خطای درصد خطای F_{max} به محاسبه شده (%)	درصد خطای مرربوط به جابجایی محاسبه شده (%)
۴	۱۳۵۰۰	۱۳۸۰۰	۱۷	۱۶	+۲	-۶
۶	۱۳۴۰۰	۱۳۷۰۰	۱۷	۱۷	+۲	۰
۸	۱۳۳۰۰	۱۳۶۰۰	۱۹	۱۸	+۲	-۵
۱۰	۱۳۷۰۰	۱۳۵۰۰	۲۲	۱۹	-۱	-۱۳
۱۲	۱۳۵۰۰	۱۳۴۰۰	۲۲	۲۰	-۱	-۹

۳- افزایش r_d از ۴ به ۱۲ میلی‌متر منجر به کاهش نیروی بیشینه‌ی کشش از ۱۵/۷ به ۱۰/۸ کیلو نیوتون می‌شود. افزون بر این، افزایش r_p به همین میزان منجر به کاهش نیروی بیشینه‌ی کشش از ۱۳/۸ به ۱۳/۴ می‌شود.

۴- کاهش r_p تأثیر بسیار بیشتری در مقایسه با r_d بر افزایش نسبت کشش دارد. این نکته یکی از دلایل اصلی تأثیر زیاد r_p و تأثیر اندک r_d بر نیروی بیشینه به حساب می‌آید.

تشکر و قدردانی

نویسنده‌گان مقاله از مسئولان دانشگاه اراک به دلیل حمایت مالی از انجام طرح تحقیقاتی به شماره‌ی ۸۹/۲۷۲۶ تشکر و قدردانی می‌کنند.

برای بررسی تأثیر شعاع شانه‌ی قالب و سنبه بر بیشترین نیروی کشش عمیق و جابجایی مربوط به آن، داده‌های محاسبه شده در این تحقیق و اطلاعات تجربی موجود در مرجع ۶ که در فرایندی مشابه به دست آمده‌اند، در جدول‌های (۱) و (۲) با یکدیگر مقایسه شده‌اند.

نتیجه‌گیری

در این تحقیق نشان داده شد که:

۱- تأثیر شعاع شانه‌ی قالب و سنبه بر زاویه‌ی خم مشابه است.

۲- تأثیر شعاع شانه‌ی قالب و سنبه بر جابجایی سنبه در نیروی بیشینه یکسان است، به گونه‌ای که با افزایش r_d یا r_p از ۴ به ۱۲ میلی‌متر جابجایی سنبه در نیروی بیشینه به‌طور خطی افزایش یافته و از ۱۶ به ۲۰ میلی‌متر می‌رسد.

مراجع

- Johnson, W. "Engineering Plasticity", Ellis Horwood Limited, Chichester, (1983).
- Browne M.T. and Hillery M.T., "Optimising the variables when deep-drawing C.R.I cups", J. Mater. Process. Technol., 136, pp. 64-71, (2003).

3. Leu D.K., "Prediction of the maximum drawing load in the deep drawing process of sheet metals", J. Mater. Process. Technol., 72, pp. 256-261, (1997).
4. Mamelis A.G., Manolakos D.E. and Baldoukas A.K., "Simulation of sheet metal forming using explicit finite-element techniques: effect of material and forming characteristics, part 1: deep drawing of cylindrical cups", J. Mater. Process. Technol., 72, pp. 48-60, (1997).
5. Freshteh-Saneiee F. and Montazeran M.H., "A comparative estimation of the forming load in the deep drawing processes", J. Mater. Process. Technol., 140, pp. 555-561, (2003).
6. Moshksar M.M. and Zamanian A., "Optimization of the tool geometry in the deep drawing of aluminum", J. Mater. Process. Technol., 72, pp. 363-370, (1997).
- 7..Dejmal I., Tirosh J., Shirizly A. and Rubinsky L., "On the optimal die curvature in deep drawing processes", Int. J. Mech. Sci, 44, pp. 1245-1258, (2002).
8. Mahdavian S.M. and He D., "Production thickness analysis in pure cup-drawing", J. Mater. Process. Technol., 51, pp. 387-406. , (1995).
9. Marciniak Z. and Duncan J.L, "The Mechanics of Sheet Metal Forming" , First ed., Edward Arnold, London, (1992).